

О локализации оптимумов в двухмашинной задаче open shop с маршрутизацией

Илья Черных

Институт математики им С.Л. Соболева

Семинар “Модели и алгоритмы
для задач составления расписаний”
01.03.2025

*Исследование выполнено за счёт гранта
Российского научного фонда №22-71-10015*

Часть первая, основная.

О локализации оптимумов для $RO2||R_{\max}$.

Open shop и стандартная нижняя оценка

Постановка задачи $Om||C_{\max}$

Для данного множества машин $\mathcal{M} = \{M_1, \dots, M_m\}$ и множества работ $\mathcal{J} = \{J_1, \dots, J_n\}$ составить расписание выполнения каждой машиной операций каждой работы так, чтобы интервалы выполнения операций одной машины/одной работы не пересекались. Длительности операций p_{ji} даны. Цель — минимизировать длину расписания C_{\max} .

Постановка задачи $Om||C_{\max}$

Для данного множества машин $\mathcal{M} = \{M_1, \dots, M_m\}$ и множества работ $\mathcal{J} = \{J_1, \dots, J_n\}$ составить расписание выполнения каждой машиной операций каждой работы так, чтобы интервалы выполнения операций одной машины/одной работы не пересекались. Длительности операций p_{ji} даны. Цель — минимизировать длину расписания C_{\max} .

Обозначения

- $\ell_i = \sum_{j=1}^n p_{ji}$ — нагрузка машины M_i .
- $d_j = \sum_{i=1}^n p_{ji}$ — длина работы J_j .
- $\ell_{\max} = \max \ell_i$, $d_{\max} = \max d_j$

Open shop и стандартная нижняя оценка

Постановка задачи $Om||C_{\max}$

Для данного множества машин $\mathcal{M} = \{M_1, \dots, M_m\}$ и множества работ $\mathcal{J} = \{J_1, \dots, J_n\}$ составить расписание выполнения каждой машиной операций каждой работы так, чтобы интервалы выполнения операций одной машины/одной работы не пересекались. Длительности операций p_{ji} даны. Цель — минимизировать длину расписания C_{\max} .

Обозначения

- $\ell_i = \sum_{j=1}^n p_{ji}$ — нагрузка машины M_i .
- $d_j = \sum_{i=1}^n p_{ji}$ — длина работы J_j .
- $\ell_{\max} = \max \ell_i, d_{\max} = \max d_j$

Стандартная нижняя оценка

$$C_{\max} \geq \bar{C} = \max\{\ell_{\max}, d_{\max}\}$$

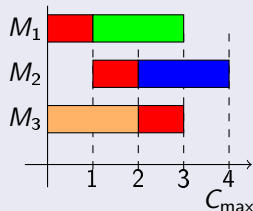
Пример с тремя машинами

$J_1 = (1, 1, 1)$, $J_2 = (2, 0, 0)$,
 $J_3 = (0, 2, 0)$, $J_4 = (0, 0, 2)$.

Немного о точности \bar{C} ?

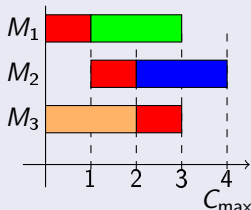
Пример с тремя машинами

$$J_1 = (1, 1, 1), J_2 = (2, 0, 0), \\ J_3 = (0, 2, 0), J_4 = (0, 0, 2).$$



Пример с тремя машинами

$$J_1 = (1, 1, 1), J_2 = (2, 0, 0), \\ J_3 = (0, 2, 0), J_4 = (0, 0, 2).$$



- Оценка $C_{\max}^* \leq \frac{4}{3}\bar{C}$ является точной для $O3||C_{\max}$.
- Доказательство получено с помощью компьютерного метода, специально изобретенного для этого исследования. [Sevastyanov, Ch. 1998]
- Задача нахождения точной оценки такого вида называется **задачей локализации оптимумов**.

Теорема (Gonzalez, Sahni 1976)

Длина оптимального расписания для задачи $O2||C_{\max}$ совпадает со стандартной нижней оценкой \bar{C} .

Теорема (Gonzalez, Sahni 1976)

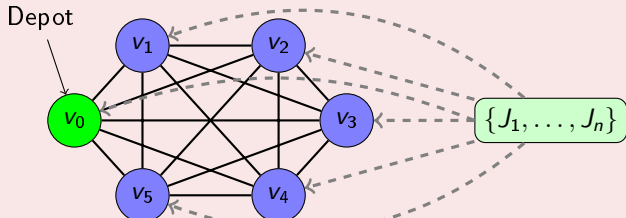
Длина оптимального расписания для задачи $O2||C_{\max}$ совпадает со стандартной нижней оценкой \bar{C} .

Известные алгоритмы в хронологическом порядке

- T. Gonzalez, S. Sahni 1976
- M. Pinedo, L. Schrage 1982
- D. de Werra 1989
- A. Soper 2013
- A. Khramova, Ch 2021

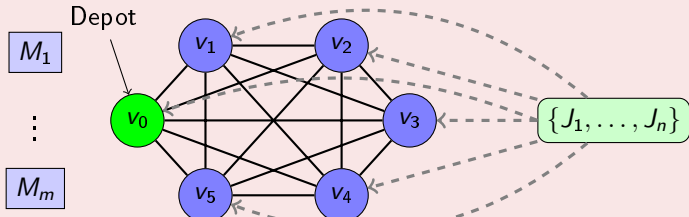
Неформальное напоминание о постановке задачи open shop с маршрутизацией

Комбинация open shop и метрической задачи коммивояжера



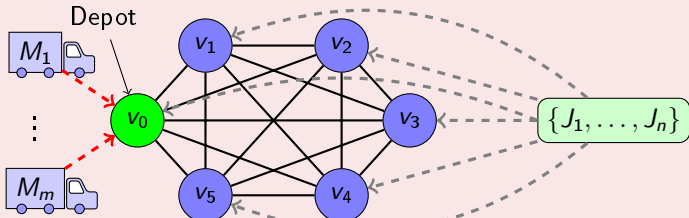
Неформальное напоминание о постановке задачи open shop с маршрутизацией

Комбинация open shop и метрической задачи коммивояжера



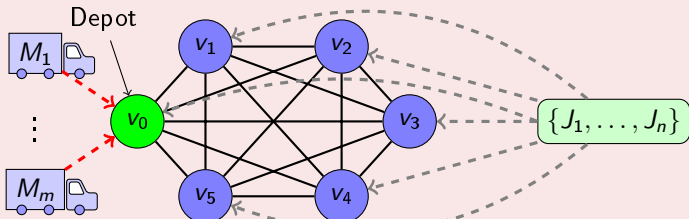
Неформальное напоминание о постановке задачи open shop с маршрутизацией

Комбинация open shop и метрической задачи коммивояжера



Неформальное напоминание о постановке задачи open shop с маршрутизацией

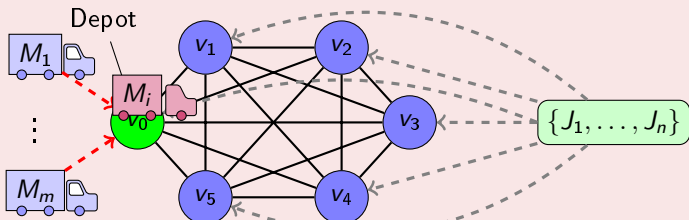
Комбинация open shop и метрической задачи коммивояжера



- $G = \langle V, E \rangle$ — транспортная сеть;
- $\text{dist}(u, v)$ — время перемещения между u и v ;
- $\mathcal{J}(v)$ — работы из узла v ;
- $R_i(S) = \max_v \max_{J_j \in \mathcal{J}(v)} (c_{ji}(S) + \text{dist}(v_0, v))$;
- $R_{\max}(S) = \max R_i(S) \rightarrow \min_S$ — длина расписания.

Неформальное напоминание о постановке задачи open shop с маршрутизацией

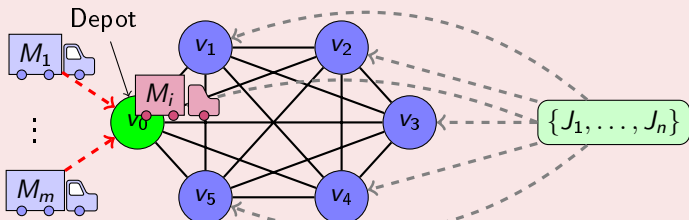
Комбинация open shop и метрической задачи коммивояжера



- $G = \langle V, E \rangle$ — транспортная сеть;
- $\text{dist}(u, v)$ — время перемещения между u и v ;
- $\mathcal{J}(v)$ — работы из узла v ;
- $R_i(S) = \max_v \max_{J_j \in \mathcal{J}(v)} (c_{ji}(S) + \text{dist}(v_0, v))$;
- $R_{\max}(S) = \max R_i(S) \rightarrow \min_S$ — длина расписания.

Неформальное напоминание о постановке задачи open shop с маршрутизацией

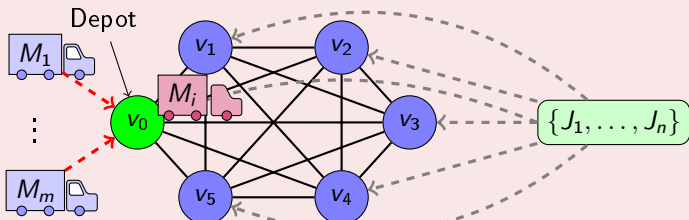
Комбинация open shop и метрической задачи коммивояжера



- $G = \langle V, E \rangle$ — транспортная сеть;
- $\text{dist}(u, v)$ — время перемещения между u и v ;
- $\mathcal{J}(v)$ — работы из узла v ;
- $R_i(S) = \max_v \max_{J_j \in \mathcal{J}(v)} (c_{ji}(S) + \text{dist}(v_0, v))$;
- $R_{\max}(S) = \max R_i(S) \rightarrow \min_S$ — длина расписания.

Неформальное напоминание о постановке задачи open shop с маршрутизацией

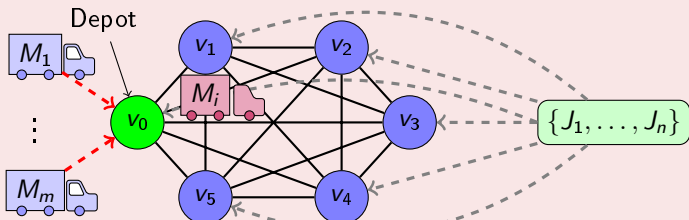
Комбинация open shop и метрической задачи коммивояжера



- $G = \langle V, E \rangle$ — транспортная сеть;
- $\text{dist}(u, v)$ — время перемещения между u и v ;
- $\mathcal{J}(v)$ — работы из узла v ;
- $R_i(S) = \max_v \max_{J_j \in \mathcal{J}(v)} (c_{ji}(S) + \text{dist}(v_0, v))$;
- $R_{\max}(S) = \max R_i(S) \rightarrow \min_S$ — длина расписания.

Неформальное напоминание о постановке задачи open shop с маршрутизацией

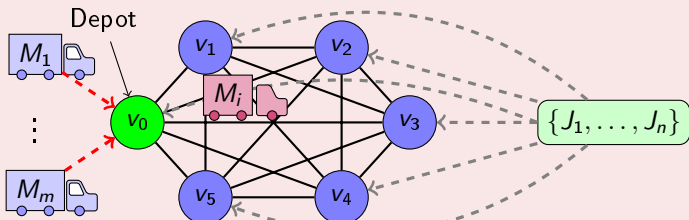
Комбинация open shop и метрической задачи коммивояжера



- $G = \langle V, E \rangle$ — транспортная сеть;
- $\text{dist}(u, v)$ — время перемещения между u и v ;
- $\mathcal{J}(v)$ — работы из узла v ;
- $R_i(S) = \max_v \max_{J_j \in \mathcal{J}(v)} (c_{ji}(S) + \text{dist}(v_0, v))$;
- $R_{\max}(S) = \max R_i(S) \rightarrow \min_S$ — длина расписания.

Неформальное напоминание о постановке задачи open shop с маршрутизацией

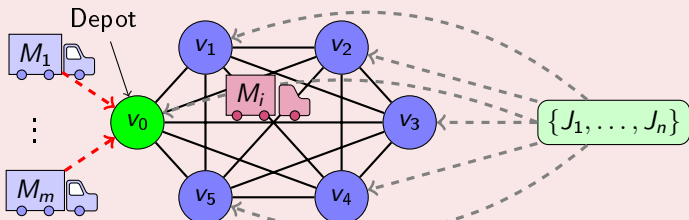
Комбинация open shop и метрической задачи коммивояжера



- $G = \langle V, E \rangle$ — транспортная сеть;
- $\text{dist}(u, v)$ — время перемещения между u и v ;
- $\mathcal{J}(v)$ — работы из узла v ;
- $R_i(S) = \max_v \max_{J_j \in \mathcal{J}(v)} (c_{ji}(S) + \text{dist}(v_0, v))$;
- $R_{\max}(S) = \max R_i(S) \rightarrow \min_S$ — длина расписания.

Неформальное напоминание о постановке задачи open shop с маршрутизацией

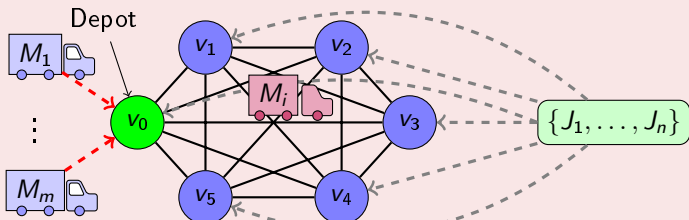
Комбинация open shop и метрической задачи коммивояжера



- $G = \langle V, E \rangle$ — транспортная сеть;
- $\text{dist}(u, v)$ — время перемещения между u и v ;
- $\mathcal{J}(v)$ — работы из узла v ;
- $R_i(S) = \max_v \max_{J_j \in \mathcal{J}(v)} (c_{ji}(S) + \text{dist}(v_0, v))$;
- $R_{\max}(S) = \max R_i(S) \rightarrow \min_S$ — длина расписания.

Неформальное напоминание о постановке задачи open shop с маршрутизацией

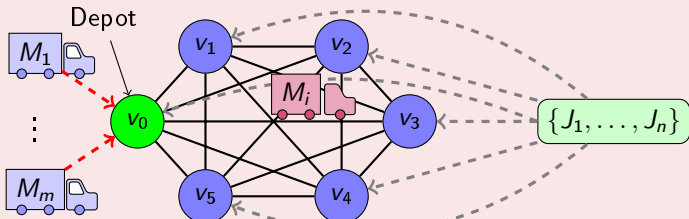
Комбинация open shop и метрической задачи коммивояжера



- $G = \langle V, E \rangle$ — транспортная сеть;
- $\text{dist}(u, v)$ — время перемещения между u и v ;
- $\mathcal{J}(v)$ — работы из узла v ;
- $R_i(S) = \max_v \max_{J_j \in \mathcal{J}(v)} (c_{ji}(S) + \text{dist}(v_0, v))$;
- $R_{\max}(S) = \max R_i(S) \rightarrow \min_S$ — длина расписания.

Неформальное напоминание о постановке задачи open shop с маршрутизацией

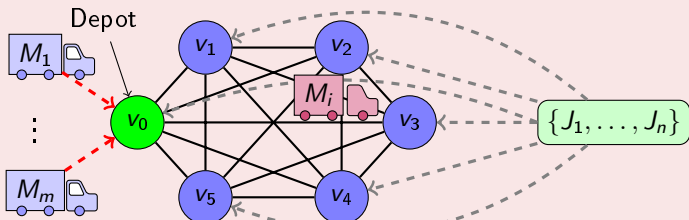
Комбинация open shop и метрической задачи коммивояжера



- $G = \langle V, E \rangle$ — транспортная сеть;
- $\text{dist}(u, v)$ — время перемещения между u и v ;
- $\mathcal{J}(v)$ — работы из узла v ;
- $R_i(S) = \max_v \max_{J_j \in \mathcal{J}(v)} (c_{ji}(S) + \text{dist}(v_0, v))$;
- $R_{\max}(S) = \max R_i(S) \rightarrow \min_S$ — длина расписания.

Неформальное напоминание о постановке задачи open shop с маршрутизацией

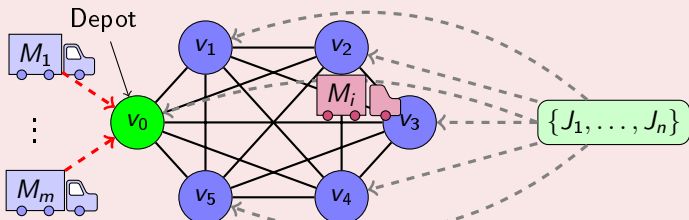
Комбинация open shop и метрической задачи коммивояжера



- $G = \langle V, E \rangle$ — транспортная сеть;
- $\text{dist}(u, v)$ — время перемещения между u и v ;
- $\mathcal{J}(v)$ — работы из узла v ;
- $R_i(S) = \max_v \max_{J_j \in \mathcal{J}(v)} (c_{ji}(S) + \text{dist}(v_0, v))$;
- $R_{\max}(S) = \max R_i(S) \rightarrow \min_S$ — длина расписания.

Неформальное напоминание о постановке задачи open shop с маршрутизацией

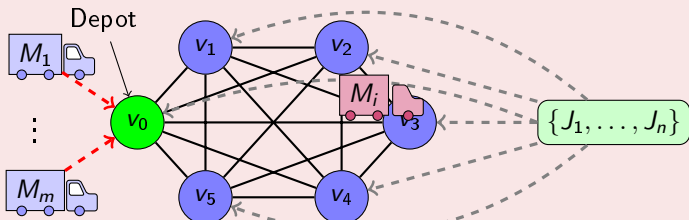
Комбинация open shop и метрической задачи коммивояжера



- $G = \langle V, E \rangle$ — транспортная сеть;
- $\text{dist}(u, v)$ — время перемещения между u и v ;
- $\mathcal{J}(v)$ — работы из узла v ;
- $R_i(S) = \max_v \max_{J_j \in \mathcal{J}(v)} (c_{ji}(S) + \text{dist}(v_0, v))$;
- $R_{\max}(S) = \max R_i(S) \rightarrow \min_S$ — длина расписания.

Неформальное напоминание о постановке задачи open shop с маршрутизацией

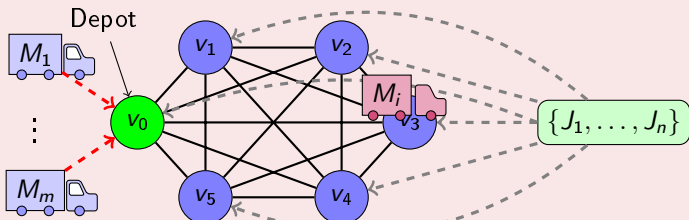
Комбинация open shop и метрической задачи коммивояжера



- $G = \langle V, E \rangle$ — транспортная сеть;
- $\text{dist}(u, v)$ — время перемещения между u и v ;
- $\mathcal{J}(v)$ — работы из узла v ;
- $R_i(S) = \max_v \max_{J_j \in \mathcal{J}(v)} (c_{ji}(S) + \text{dist}(v_0, v))$;
- $R_{\max}(S) = \max R_i(S) \rightarrow \min_S$ — длина расписания.

Неформальное напоминание о постановке задачи open shop с маршрутизацией

Комбинация open shop и метрической задачи коммивояжера



- $G = \langle V, E \rangle$ — транспортная сеть;
- $\text{dist}(u, v)$ — время перемещения между u и v ;
- $\mathcal{J}(v)$ — работы из узла v ;
- $R_i(S) = \max_v \max_{J_j \in \mathcal{J}(v)} (c_{ji}(S) + \text{dist}(v_0, v))$;
- $R_{\max}(S) = \max R_i(S) \rightarrow \min_S$ — длина расписания.

Стандартная нижняя оценка для задачи open shop с маршрутизацией

- $\ell_{\max} = \max_i \ell_i$ — максимальная нагрузка машины,
- $d_{\max}(v) = \max_{j \in \mathcal{J}(v)} d_j$ — максимальная длина работы из узла v ,
- T^* — длина кратчайшего обхода G (оптимум TSP)

Стандартная нижняя оценка для задачи open shop с маршрутизацией

- $\ell_{\max} = \max_i \ell_i$ — максимальная нагрузка машины,
- $d_{\max}(v) = \max_{j \in \mathcal{J}(v)} d_j$ — максимальная длина работы из узла v ,
- T^* — длина кратчайшего обхода G (оптимум TSP)

Стандартная нижняя оценка

$$\bar{R} = \max \left\{ \ell_{\max} + T^*, \max_v \left(d_{\max}(v) + 2\text{dist}(v_0, v) \right) \right\}$$

Стандартная нижняя оценка для задачи open shop с маршрутизацией

- $\ell_{\max} = \max_i \ell_i$ — максимальная нагрузка машины,
- $d_{\max}(v) = \max_{j \in \mathcal{J}(v)} d_j$ — максимальная длина работы из узла v ,
- T^* — длина кратчайшего обхода G (оптимум TSP)

Стандартная нижняя оценка

$$\bar{R} = \max \left\{ \ell_{\max} + T^*, \max_v \left(d_{\max}(v) + 2\text{dist}(v_0, v) \right) \right\}$$

Задача локализации оптимумов

$$\rho^* = \sup_{\bar{R}} \frac{R_{\max}^*}{\bar{R}}$$

Приближенные алгоритмы для $RO2||R_{\max}$

$RO2||R_{\max}$

Приближенные алгоритмы для $RO2||R_{\max}$

$RO2||R_{\max}$

$\frac{7}{4}$ -приближение

[Averbakh, Berman, Ch 2006]



Приближенные алгоритмы для $RO2||R_{\max}$

$RO2||R_{\max}$

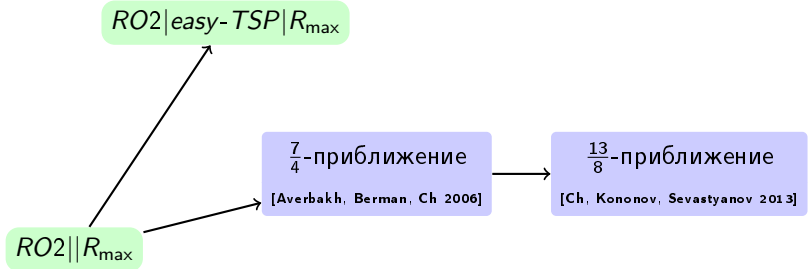
$\frac{7}{4}$ -приближение

[Averbakh, Berman, Ch 2006]

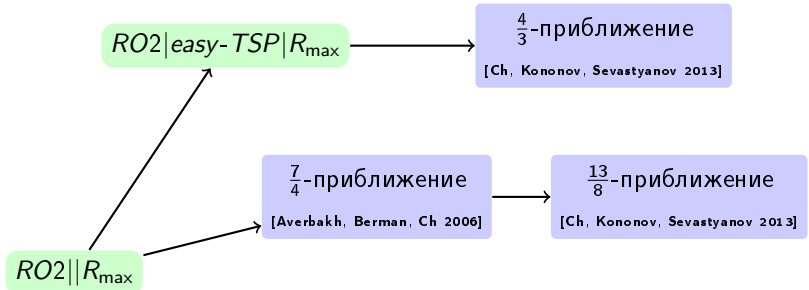
$\frac{13}{8}$ -приближение

[Ch, Kononov, Sevastyanov 2013]

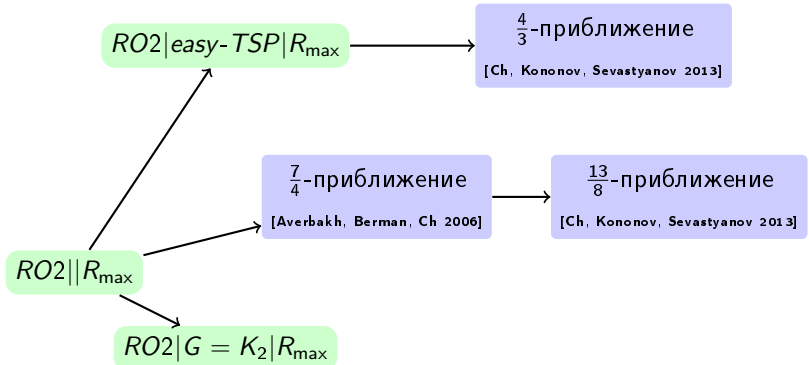
Приближенные алгоритмы для $RO2||R_{\max}$



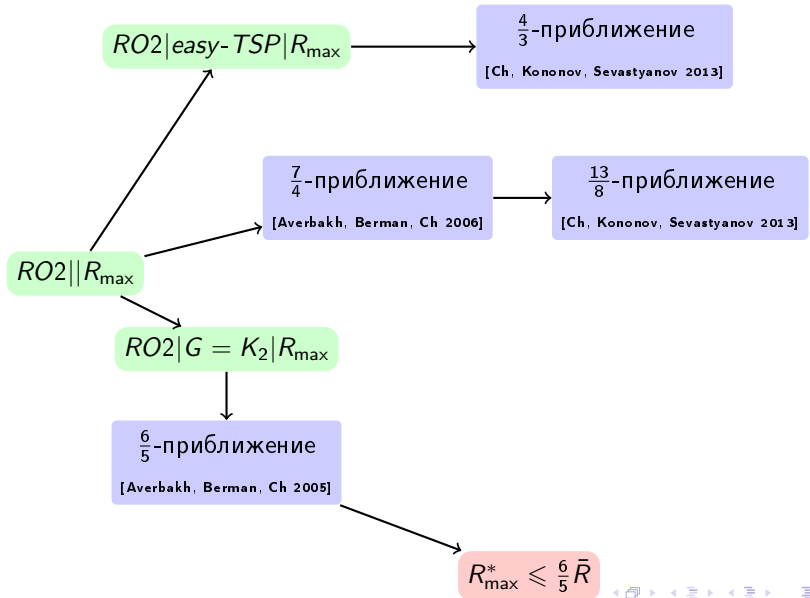
Приближенные алгоритмы для $RO2||R_{\max}$



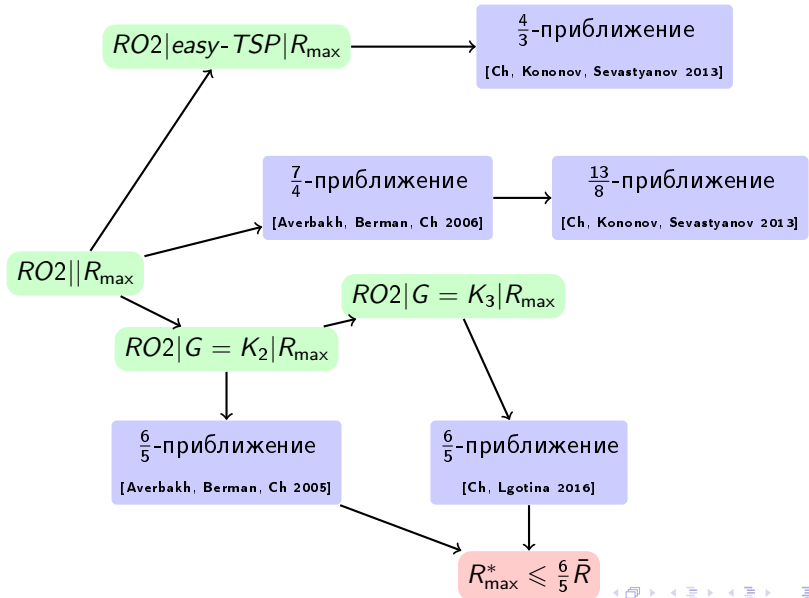
Приближенные алгоритмы для $RO2||R_{\max}$



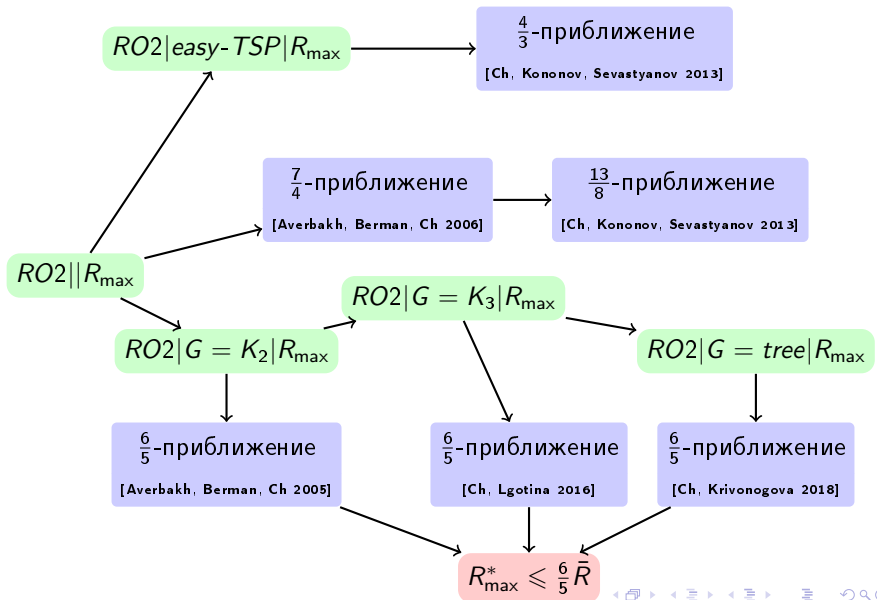
Приближенные алгоритмы для $RO2||R_{\max}$



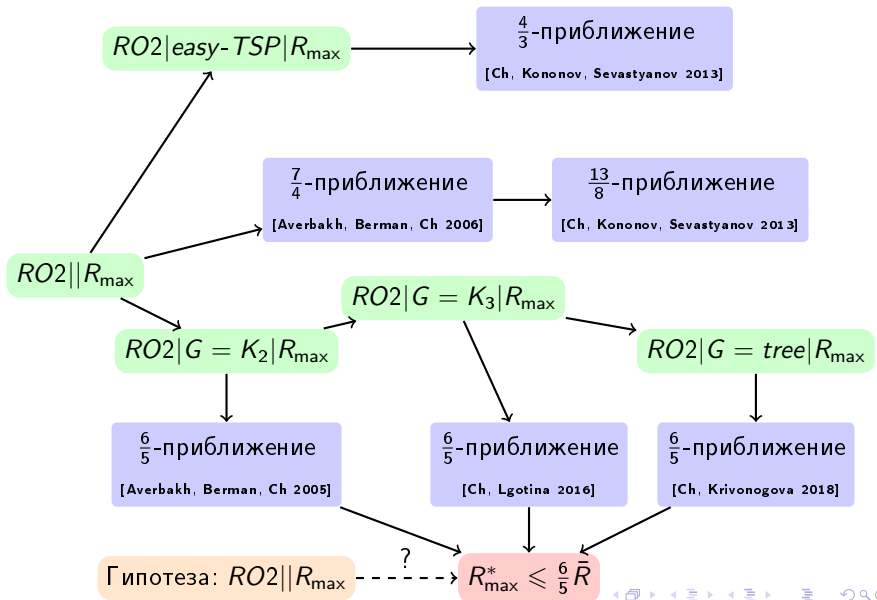
Приближенные алгоритмы для $RO2||R_{\max}$



Приближенные алгоритмы для $RO2||R_{\max}$



Приближенные алгоритмы для $RO2||R_{\max}$

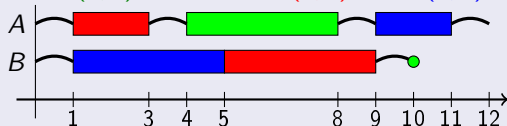


Точность оценки для $RO2|G = K_2|R_{\max}$

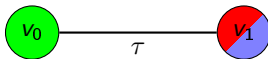


[I. Averbakh, O. Berman, IC 2005]

$$J_1 = (4, 0); \tau = 1; J_2 = (2, 4); J_3 = (2, 4).$$

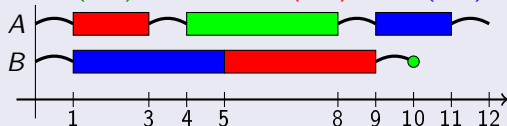


Точность оценки для $RO2|G = K_2|R_{\max}$



[I. Averbakh, O. Berman, IC 2005]

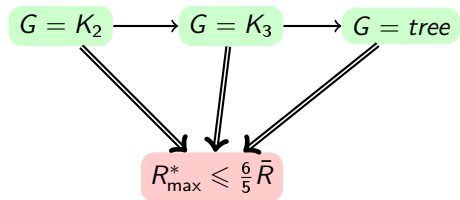
$$J_1 = (4, 0); \tau = 1; J_2 = (2, 4); J_3 = (2, 4).$$

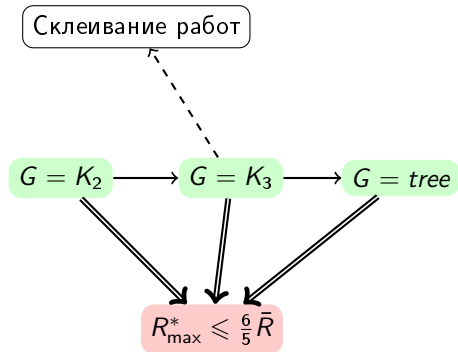


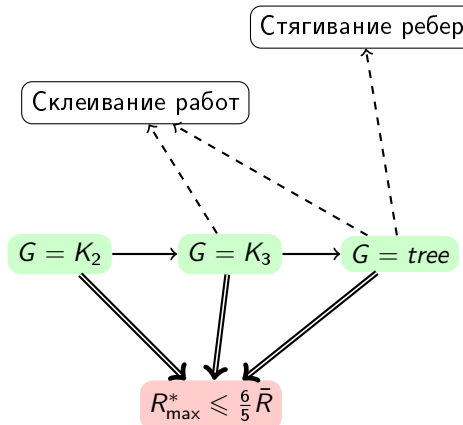
$$\frac{6}{5} \leq \rho^* \leq \frac{4}{3}.$$

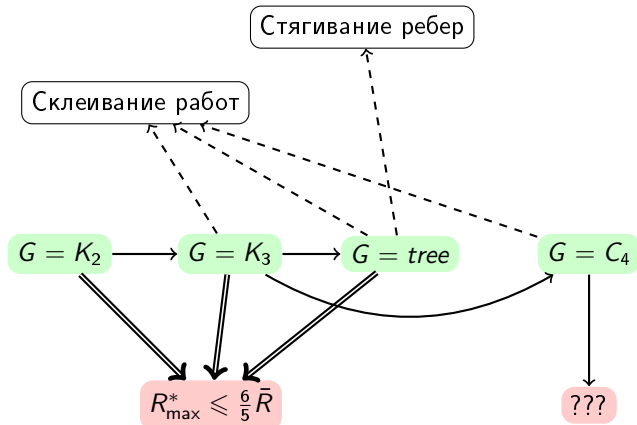
Метод	Эффект	Результат
Склейвание работ	Сокращение числа работ	Не более одной работы в вершине, за исключением перегруженной, в которой не более трех работ.
Стягивание висячих ребер	Упрощение структуры графа	Не более одного перегруженного ребра.
Стягивание висячих циклов	Упрощение структуры графа	Не более одного перегруженного цикла.

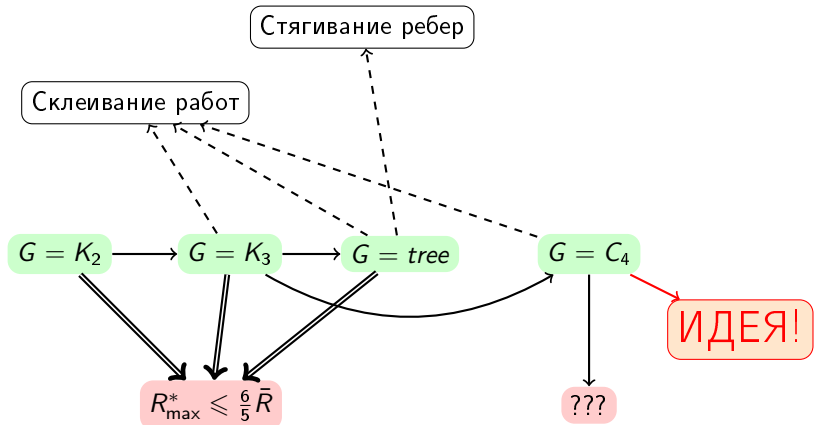
История исследования “простых примеров” $RO2||R_{\max}$

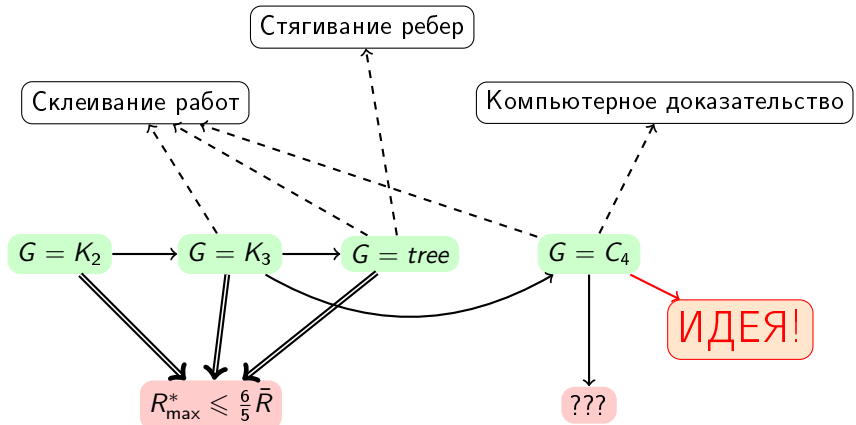


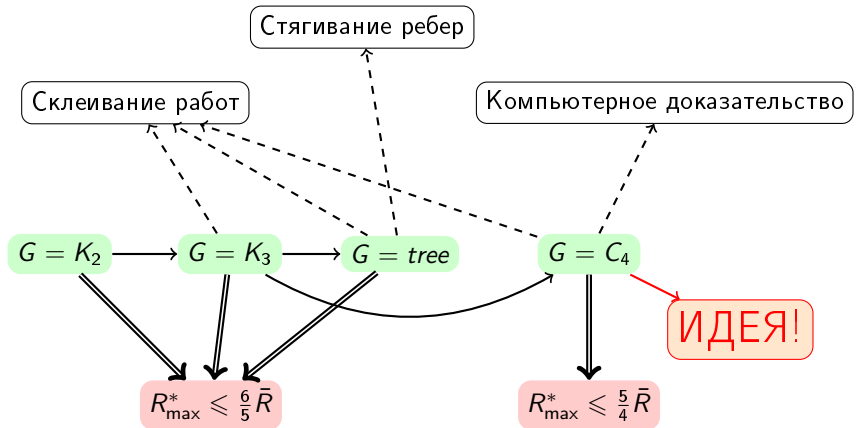




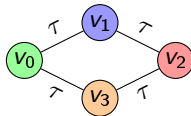






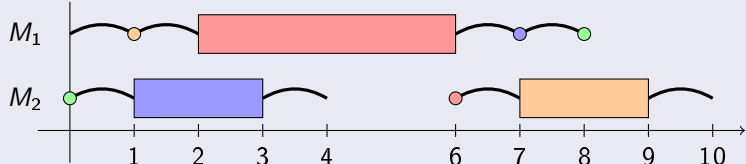


Новая нижняя оценка ρ^* .

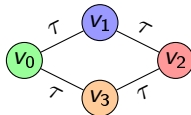


[A. Chechushkov, Ch 2023]

$$\tau = 1; J_0 = (0, 0); J_1 = (0, 2); J_2 = (4, 0); J_3 = (0, 2);$$

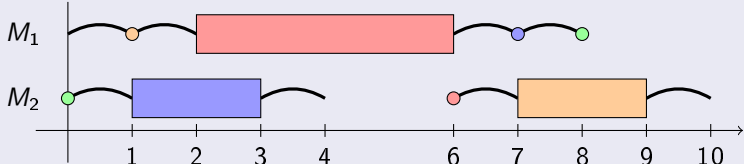


Новая нижняя оценка ρ^* .



[A. Chechushkov, Ch 2023]

$$\tau = 1; J_0 = (0, 0); J_1 = (0, 2); J_2 = (4, 0); J_3 = (0, 2);$$



$$\frac{5}{4} \leq \rho^* \leq \frac{4}{3}.$$

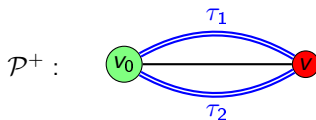
Новая гипотеза: $R_{\max}^* \leq \frac{5}{4} \bar{R}$.

Постановка задачи

- Работы не только в вершинах, но и на некоторых ребрах (туннелях). Каждый туннель содержит ровно одну работу.
- Работа в туннеле выполняется параллельно с передвижением. После выполнения работы машина оказывается в другом конце туннеля.
- Передвижение без выполнения работы возможно, как и раньше. Выполнение работы одной машиной не мешает передвижению другой.
- Пересечение интервалов выполнения туннельных работ запрещено.

Теорема [Ch 2021]

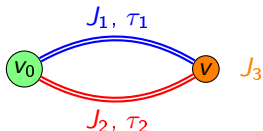
Любой пример задачи $RO2|R_{\max}$ может быть сведен с сохранением стандартной нижней оценки с примеру задачи с маршрутизацией и туннелями $\overline{RO2}|G = \mathcal{P}^+|R_{\max}$ со двумя вершинами и двумя параллельными туннелями, одной работой в базе и не более тремя работами в вершине v .



$$R_{\max}^* \leq \frac{5}{4}\bar{R}?$$

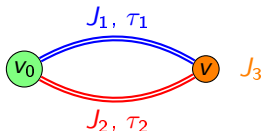
Теорема

Для любого примера задачи $\overline{\overline{R}}O2|G = \mathcal{P}^+|R_{\max}$ длина оптимального расписания не превышает $\frac{4}{3}\overline{\overline{R}}$, и эта оценка точна.



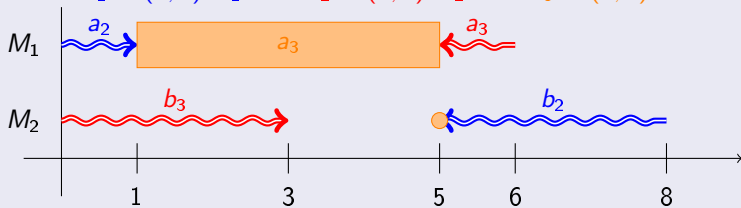
Теорема

Для любого примера задачи $\overline{R}O2|G = \mathcal{P}^+|R_{\max}$ длина оптимального расписания не превышает $\frac{4}{3}\overline{R}$, и эта оценка точна.



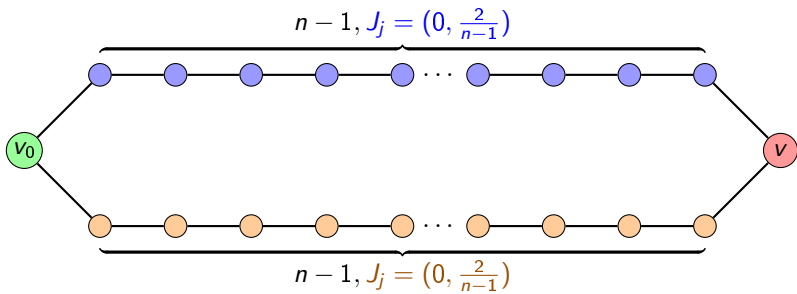
Пример

$$J_1 = (0, 2), \tau_1 = 1, J_2 = (0, 2), \tau_2 = 1, J_3 = (4, 0).$$

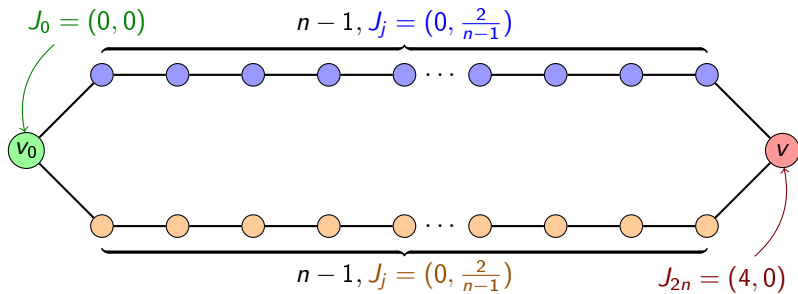


Основной результат: локализация оптимумов для $RO2||R_{\max}$

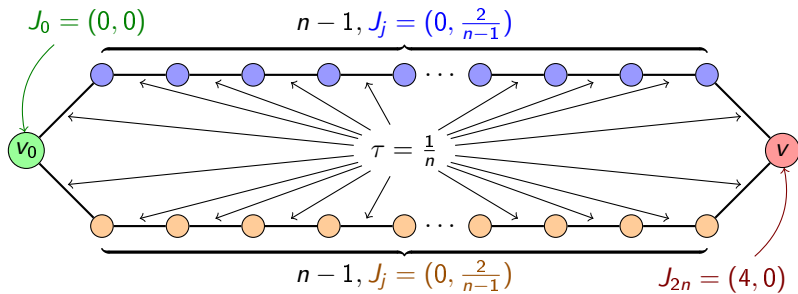
Основной результат: локализация оптимумов для $RO2||R_{\max}$



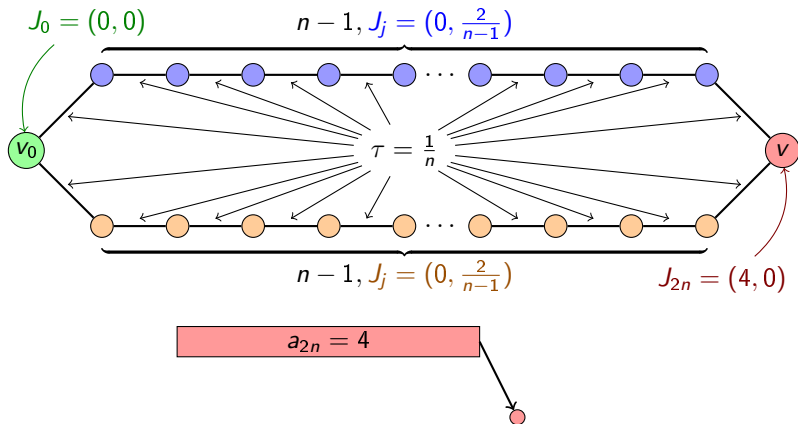
Основной результат: локализация оптимумов для $RO2||R_{\max}$



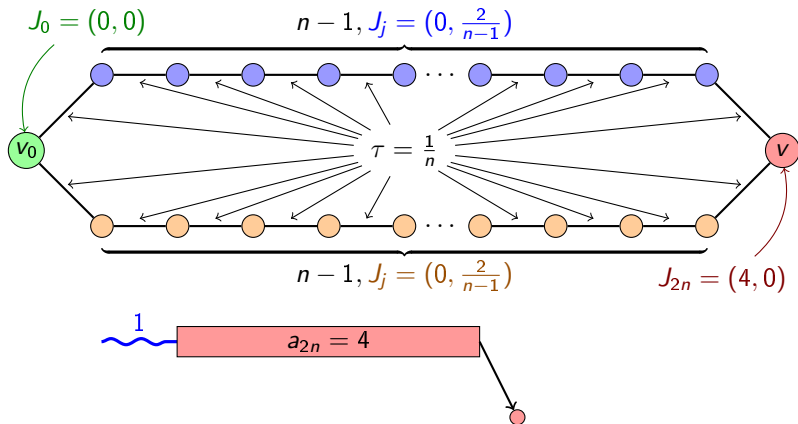
Основной результат: локализация оптимумов для $RO2||R_{\max}$



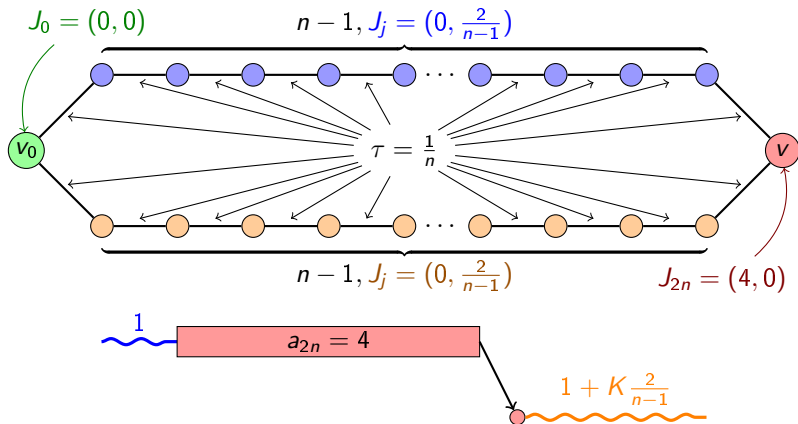
Основной результат: локализация оптимумов для $RO2||R_{\max}$



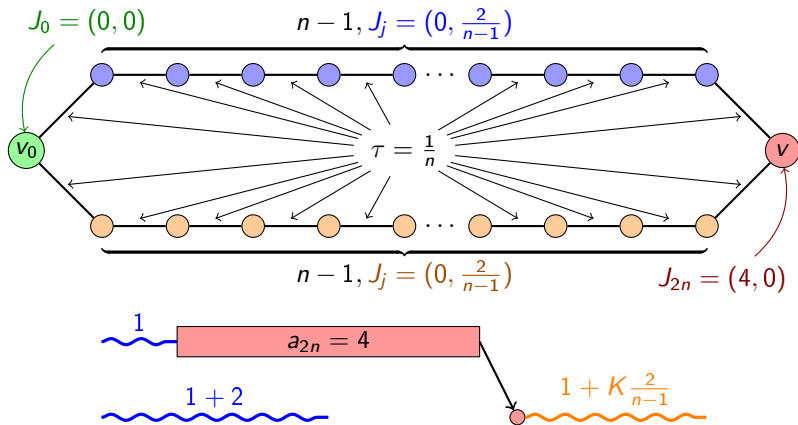
Основной результат: локализация оптимумов для $RO2||R_{\max}$



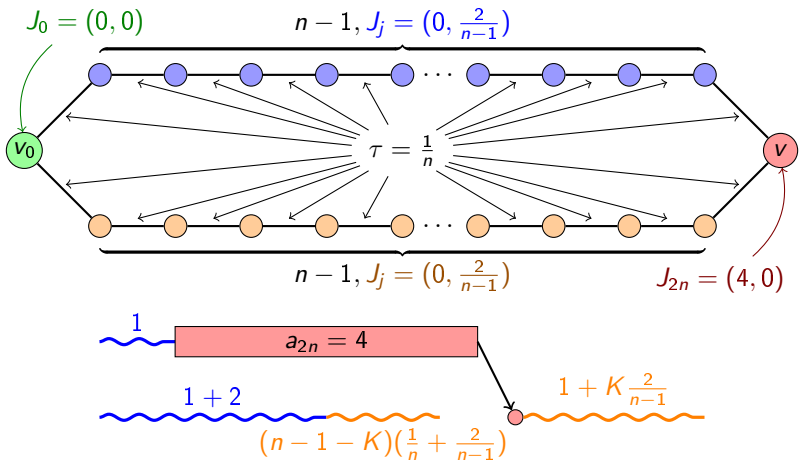
Основной результат: локализация оптимумов для $RO2||R_{\max}$



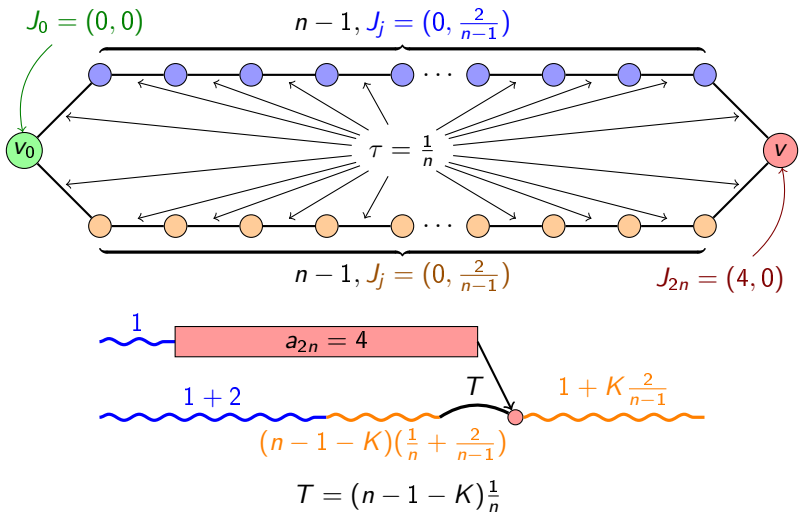
Основной результат: локализация оптимумов для $RO2||R_{\max}$



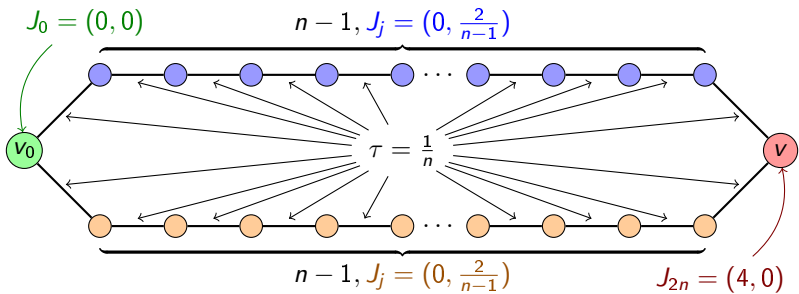
Основной результат: локализация оптимумов для $RO_2||R_{\max}$



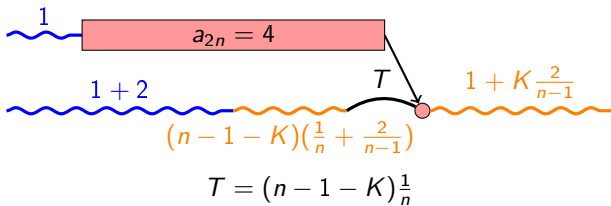
Основной результат: локализация оптимумов для $RO_2||R_{\max}$



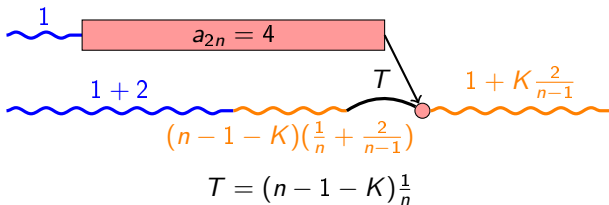
Основной результат: локализация оптимумов для $RO2||R_{\max}$ (не получилось)



Оценка длины расписания



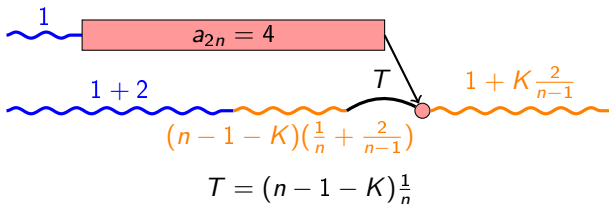
Оценка длины расписания



- ➊ $R_{\max} \geqslant 6 + K \frac{2}{n-1} = R_1.$
- ➋ Оценим время работы второй машины:

$$\begin{aligned} R_{\max} &\geqslant 3 + (n - 1 - K) \left(\frac{1}{n} + \frac{2}{n-1} \right) + (n - 1 - K) \frac{1}{n} + 1 + K \frac{2}{n-1} \\ &= 4 + \frac{2(n - 1 - K + K)}{n - 1} + 2 \frac{n - 1 - K}{n} = 6 + 2 \frac{n - 1 - K}{n} = R_2 \end{aligned}$$

Оценка длины расписания

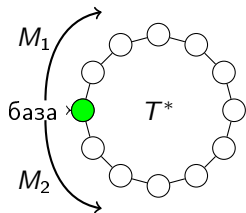


- ➊ $R_{\max} \geqslant 6 + K \frac{2}{n-1} = R_1.$
- ➋ Оценим время работы второй машины:

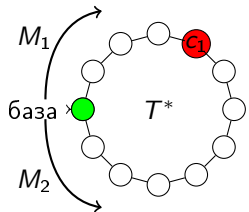
$$\begin{aligned} R_{\max} &\geqslant 3 + (n - 1 - K) \left(\frac{1}{n} + \frac{2}{n-1} \right) + (n - 1 - K) \frac{1}{n} + 1 + K \frac{2}{n-1} \\ &= 4 + \frac{2(n - 1 - K + K)}{n - 1} + 2 \frac{n - 1 - K}{n} = 6 + 2 \frac{n - 1 - K}{n} = R_2 \\ \frac{n - 1}{n} R_1 + R_2 &\geqslant 6 \frac{n - 1}{n} + 6 + 2 \frac{n - 1}{n} > 14 \frac{n - 1}{n} \dots \end{aligned}$$

Попробуем по-другому...

Попробуем по-другому...

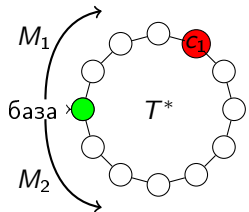


Попробуем по-другому...



$$R_1 \leqslant \ell_{\max} + T^* + \frac{1}{2}d_{c1}$$

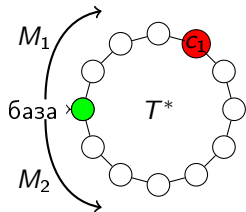
Попробуем по-другому...



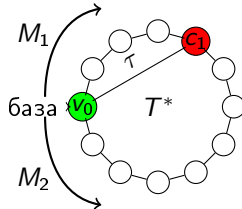
$$R_1 \leq \ell_{\max} + T^* + \frac{1}{2}d_{c1}$$

$$R_1 \leq \frac{3}{2}\bar{R}$$

Попробуем по-другому...

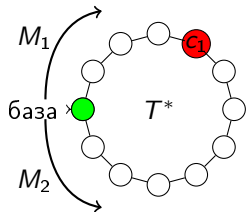


$$R_1 \leqslant \ell_{\max} + T^* + \frac{1}{2}d_{c1}$$

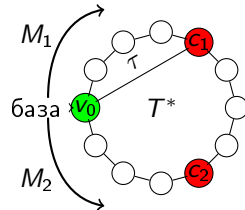


$$R_1 \leqslant \frac{3}{2}\bar{R}$$

Попробуем по-другому...



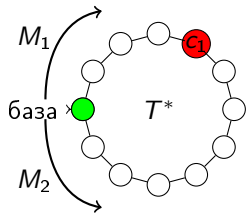
$$R_1 \leq \ell_{\max} + T^* + \frac{1}{2}d_{c1}$$



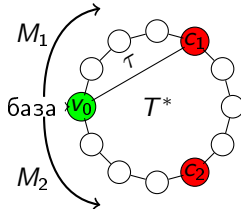
$$R_2 \leq \ell_{\max} + T^* + 2\tau + \frac{1}{2}d_{c2}$$

$$R_1 \leq \frac{3}{2}\bar{R}$$

Попробуем по-другому...



$$R_1 \leq \ell_{\max} + T^* + \frac{1}{2}d_{c1}$$

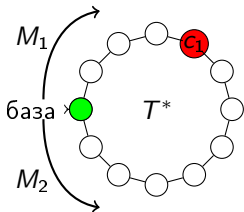


$$R_2 \leq \ell_{\max} + T^* + 2\tau + \frac{1}{2}d_{c2}$$

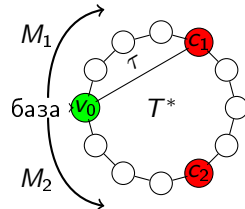
$$R_1 \leq \frac{3}{2}\bar{R}$$

$$\min\{R_1, R_2\} \leq \frac{3}{2}\bar{R}$$

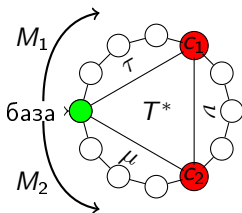
Попробуем по-другому...



$$R_1 \leq \ell_{\max} + T^* + \frac{1}{2}d_{c1}$$



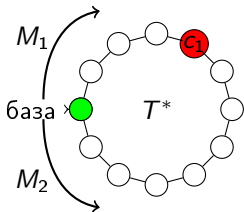
$$R_2 \leq \ell_{\max} + T^* + 2\tau + \frac{1}{2}d_{c2}$$



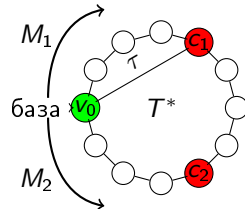
$$R_1 \leq \frac{3}{2}\bar{R}$$

$$\min\{R_1, R_2\} \leq \frac{3}{2}\bar{R}$$

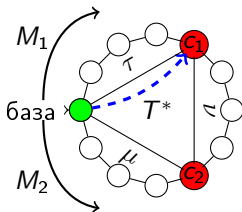
Попробуем по-другому...



$$R_1 \leq \ell_{\max} + T^* + \frac{1}{2}d_{c1}$$



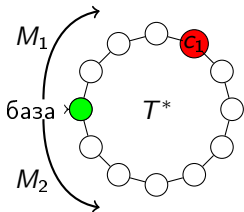
$$R_2 \leq \ell_{\max} + T^* + 2\tau + \frac{1}{2}d_{c2}$$



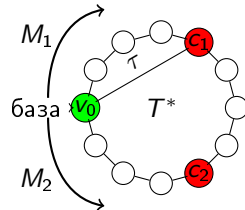
$$R_1 \leq \frac{3}{2}\bar{R}$$

$$\min\{R_1, R_2\} \leq \frac{3}{2}\bar{R}$$

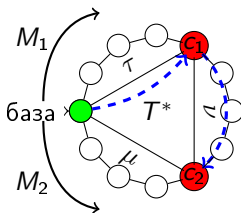
Попробуем по-другому...



$$R_1 \leq \ell_{\max} + T^* + \frac{1}{2}d_{c1}$$



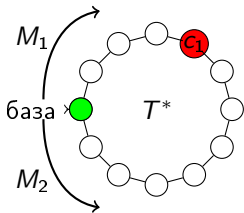
$$R_2 \leq \ell_{\max} + T^* + 2\tau + \frac{1}{2}d_{c2}$$



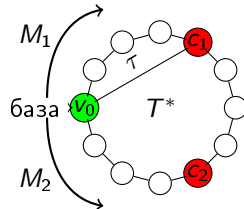
$$R_1 \leq \frac{3}{2}\bar{R}$$

$$\min\{R_1, R_2\} \leq \frac{3}{2}\bar{R}$$

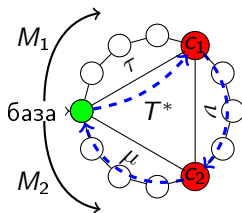
Попробуем по-другому...



$$R_1 \leq \ell_{\max} + T^* + \frac{1}{2}d_{c1}$$



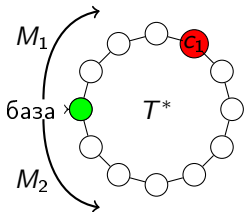
$$R_2 \leq \ell_{\max} + T^* + 2\tau + \frac{1}{2}d_{c2}$$



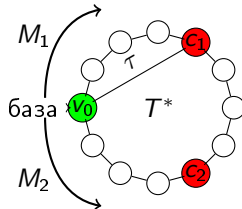
$$R_1 \leq \frac{3}{2}\bar{R}$$

$$\min\{R_1, R_2\} \leq \frac{3}{2}\bar{R}$$

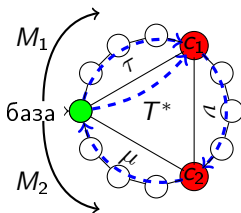
Попробуем по-другому...



$$R_1 \leq \ell_{\max} + T^* + \frac{1}{2}d_{c1}$$



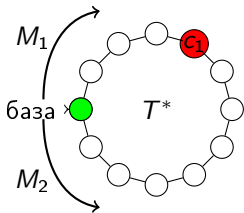
$$R_2 \leq \ell_{\max} + T^* + 2\tau + \frac{1}{2}d_{c2}$$



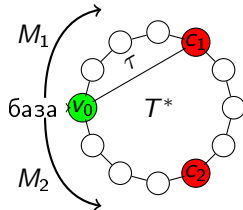
$$R_1 \leq \frac{3}{2}\bar{R}$$

$$\min\{R_1, R_2\} \leq \frac{3}{2}\bar{R}$$

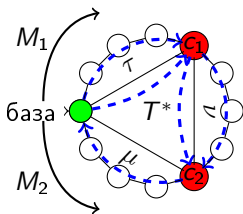
Попробуем по-другому...



$$R_1 \leq \ell_{\max} + T^* + \frac{1}{2}d_{c1}$$



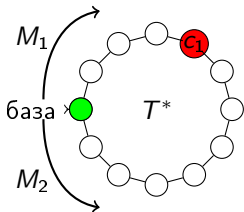
$$R_2 \leq \ell_{\max} + T^* + 2\tau + \frac{1}{2}d_{c2}$$



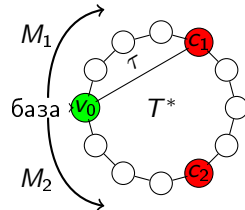
$$R_1 \leq \frac{3}{2}\bar{R}$$

$$\min\{R_1, R_2\} \leq \frac{3}{2}\bar{R}$$

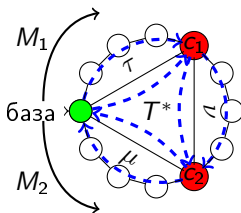
Попробуем по-другому...



$$R_1 \leq \ell_{\max} + T^* + \frac{1}{2}d_{c1}$$



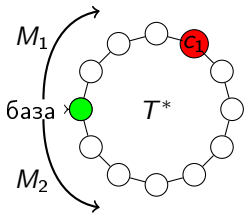
$$R_2 \leq \ell_{\max} + T^* + 2\tau + \frac{1}{2}d_{c2}$$



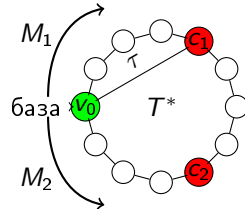
$$R_1 \leq \frac{3}{2}\bar{R}$$

$$\min\{R_1, R_2\} \leq \frac{3}{2}\bar{R}$$

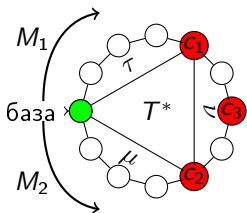
Попробуем по-другому...



$$R_1 \leq \ell_{\max} + T^* + \frac{1}{2} d_{c1}$$



$$R_2 \leq \ell_{\max} + T^* + 2\tau + \frac{1}{2} d_{c2}$$

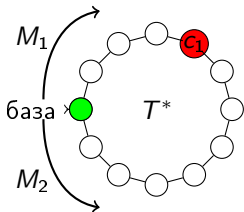


$$R_3 \leq \ell_{\max} + T^* + \tau + \mu + \nu + \frac{1}{2} d_{c3}$$

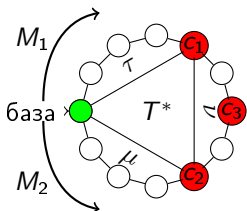
$$R_1 \leq \frac{3}{2} \bar{R}$$

$$\min\{R_1, R_2\} \leq \frac{3}{2} \bar{R}$$

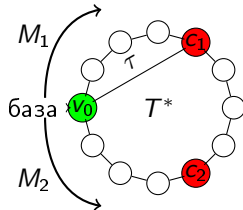
Попробуем по-другому...



$$R_1 \leqslant \ell_{\max} + T^* + \frac{1}{2}d_{c1}$$



$$R_3 \leq \ell_{\max} + T^* + \tau + \mu + \nu + \frac{1}{2}d_{c3}$$



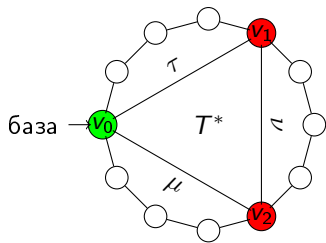
$$R_2 \leq \ell_{\max} + T^* + 2\tau + \frac{1}{2}d_{c2}$$

$$R_1 \leq \frac{3}{2} \bar{R}$$

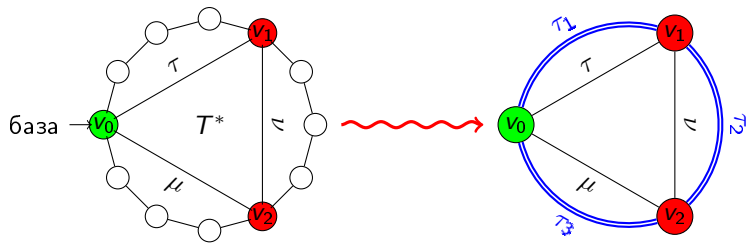
$$\min\{R_1, R_2\} \leq \frac{3}{2}\bar{R}$$

$$\min\{R_1, R_2, R_3\} \leq \frac{7}{5}\bar{R} \dots$$

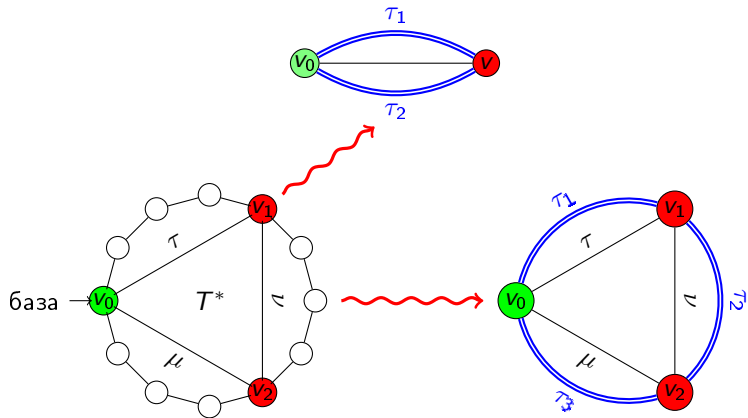
Новая идея



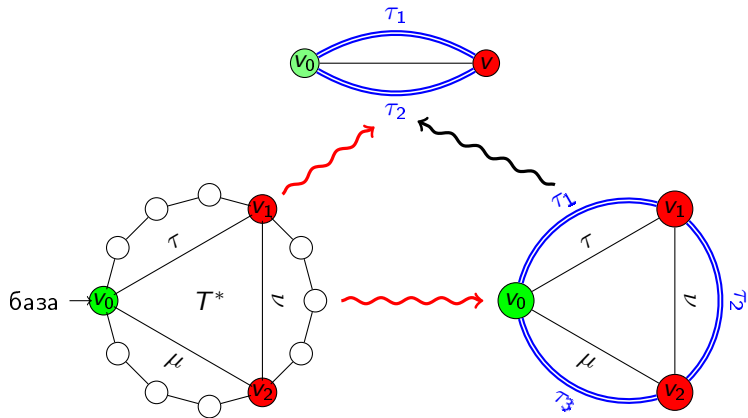
Новая идея



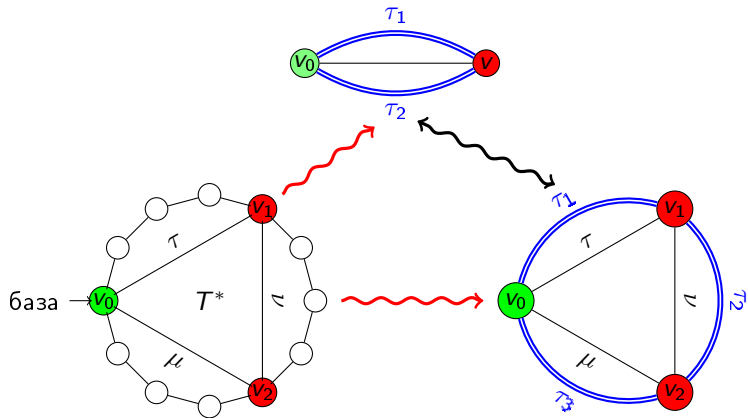
Новая идея



Новая идея

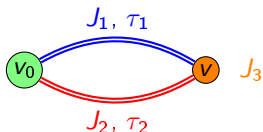


Новая идея (тоже не получилось)



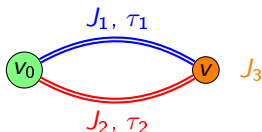
Теорема

Для любого примера задачи $\overline{\overline{R}}O2|G = \mathcal{P}^+, j\text{-prpt}|R_{\max}$ длина оптимального расписания не превышает $\frac{4}{3}\overline{\overline{R}}$, и эта оценка точна.



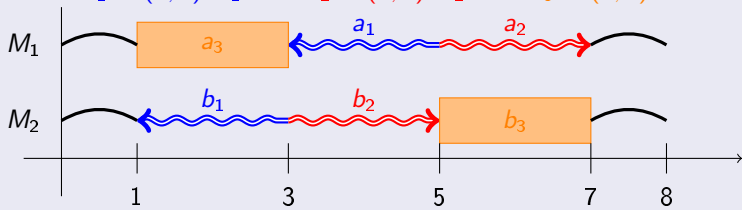
Теорема

Для любого примера задачи $\overline{R}O2|G = \mathcal{P}^+, j\text{-prpt}|R_{\max}$ длина оптимального расписания не превышает $\frac{4}{3}\overline{R}$, и эта оценка точна.



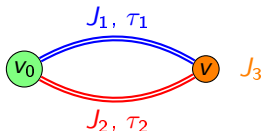
Пример

$$J_1 = (1, 1), \tau_1 = 1, J_2 = (1, 1), \tau_2 = 1, J_3 = (2, 2).$$



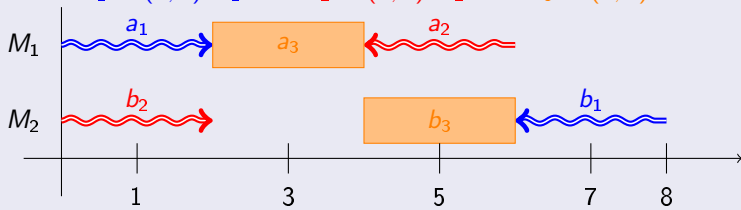
Теорема

Для любого примера задачи $\overline{R}O2|G = \mathcal{P}^+, j\text{-prpt}|R_{\max}$ длина оптимального расписания не превышает $\frac{4}{3}\overline{R}$, и эта оценка точна.

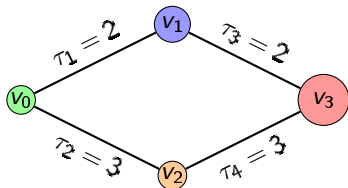


Пример

$$J_1 = (1, 1), \tau_1 = 1, J_2 = (1, 1), \tau_2 = 1, J_3 = (2, 2).$$

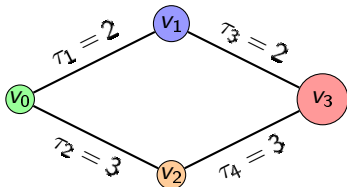


Новый пример для задачи $RO2|j\text{-prpt}, G = C_4|R_{\max}$

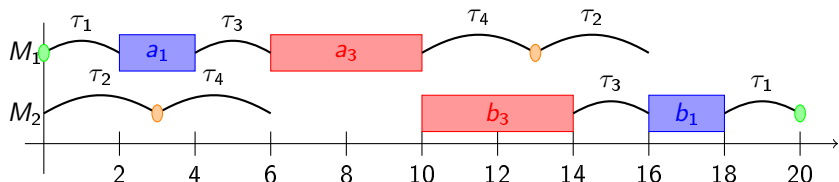


$$J_0 = (0, 0), J_1 = (2, 2), J_2 = (0, 0), J_3 = (4, 4)$$

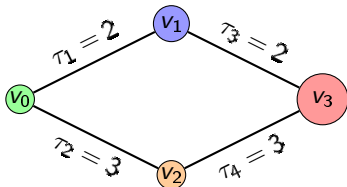
Новый пример для задачи $RO2|j\text{-prpt}, G = C_4|R_{\max}$



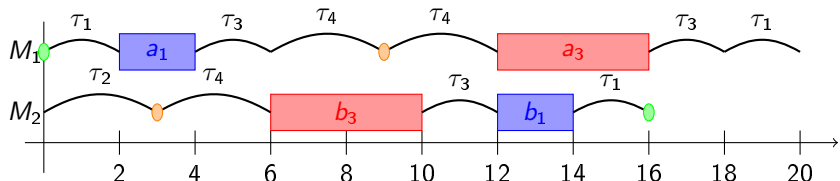
$$J_0 = (0, 0), J_1 = (2, 2), J_2 = (0, 0), J_3 = (4, 4)$$



Новый пример для задачи $RO2|j\text{-prpt}, G = C_4|R_{\max}$



$$J_0 = (0, 0), J_1 = (2, 2), J_2 = (0, 0), J_3 = (4, 4)$$



Что мы знаем про локализацию оптимумов для $RO2||R_{\max}$

Структура графа	Длительности	
	соподчиненные	произвольные
$G = K_2$	$[\bar{R}, \frac{7}{6}\bar{R}]$	$[\bar{R}, \frac{6}{5}\bar{R}]$
$G = K_3$	$[\bar{R}, \frac{7}{6}\bar{R}]$	$[\bar{R}, \frac{6}{5}\bar{R}]$
$G = \text{tree}$	$[\bar{R}, \frac{7}{6}\bar{R}]$	$[\bar{R}, \frac{6}{5}\bar{R}]$
$G = C_4$	$[\bar{R}, \frac{5}{4}\bar{R}]$	$[\bar{R}, \frac{5}{4}\bar{R}]$
G произвольный	$[\bar{R}, \frac{4}{3}\bar{R}]?$	$[\bar{R}, \frac{4}{3}\bar{R}]?$

Задача open shop с маршрутизацией и индивидуальными временами перемещения машин

Особенности постановки

- Для каждой машины M_i есть своя функция dist_i , определяющая время перемещения между вершинами.
- Различаем постановки с однородными ($RO2|Qtt|R_{\max}$) и независимыми ($RO2|Rtt|R_{\max}$) временами перемещения.

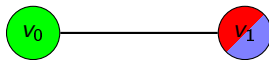
Дополнительные обозначения

- Вместо $\text{dist}(v, u)$: $\text{dist}_1(v, u)$ и $\text{dist}_2(v, u)$.
- Вместо T^* : T_1^* и T_2^* .

Стандартная нижняя оценка

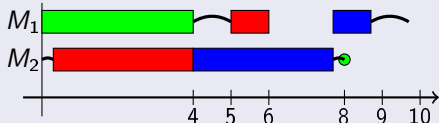
$$\bar{R} = \max \left\{ \max_i (\ell_i + T_1^*), \max_v (d_{\max}(v) + \text{dist}_1(v_0, v) + \text{dist}_2(v_0, v)) \right\}$$

Точность нижней оценки для $RO2|Qtt|R_{\max}$ и $RO2|Rtt|R_{\max}$



[Ch, Lgotina 2019]

$$J_1 = (4, 0); \text{ dist}_1 = 1; \text{ dist}_2 = \varepsilon; J_2 = (1, 4 - \varepsilon); J_3 = (1, 4 - \varepsilon).$$



Алгоритм Кононова для $RO2|Rtt|R_{\max}$

- ➊ Для каждой машины найти приближенный обход с помощью алгоритма Кристофицеса-Сердюкова:

$$T_1 \leq \frac{3}{2} T_1^*, \quad T_2 \leq \frac{3}{2} T_2^*$$

- ➋ Каждая машина выполняет операции в порядке, определённом своим обходом.
- ➌ В случае возникновения конфликта приоритет отдается той машине, которая закончит свою операцию раньше, если пойдет первой.

Свойство: машина M_i заканчивает работу в момент времени

$$R_i \leq \frac{3}{2} T_i^* + 2\ell_i \leq 2\bar{R}.$$

Алгоритм Кононова для $RO2|Rtt|R_{\max}$

- ➊ Для каждой машины найти приближенный обход с помощью алгоритма Кристофицеса-Сердюкова:

$$T_1 \leq \frac{3}{2} T_1^*, \quad T_2 \leq \frac{3}{2} T_2^*$$

- ➋ Каждая машина выполняет операции в порядке, определённом своим обходом.
- ➌ В случае возникновения конфликта приоритет отдается той машине, которая закончит свою операцию раньше, если пойдет первой.

Свойство: машина M_i заканчивает работу в момент времени

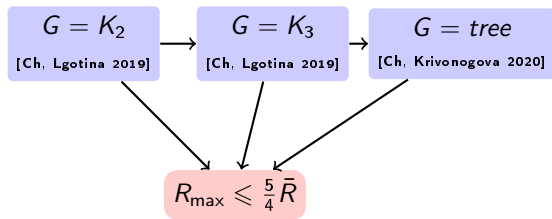
$$R_i \leq \frac{3}{2} T_i^* + 2\ell_i \leq 2\bar{R}.$$

Теорема

Для любого примера задачи $RO2|Rtt|R_{\max}$ можно за полиномиальное время построить расписание длины не больше $2\bar{R}$.

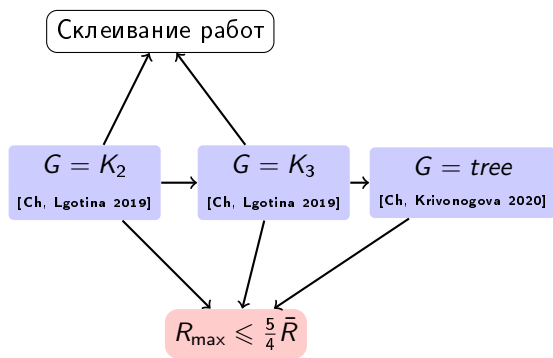
История исследования “простых примеров”

$RO2|Rtt|R_{\max}$



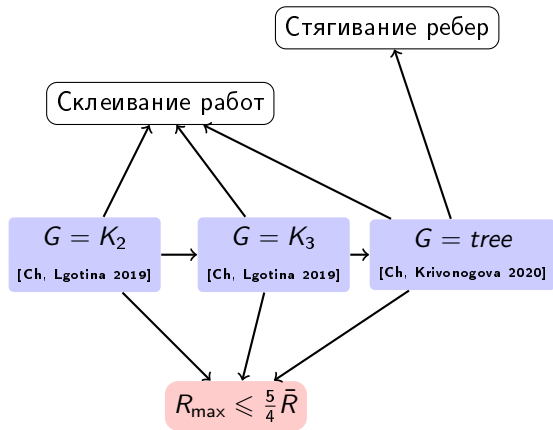
История исследования “простых примеров”

$RO2|Rtt|R_{\max}$



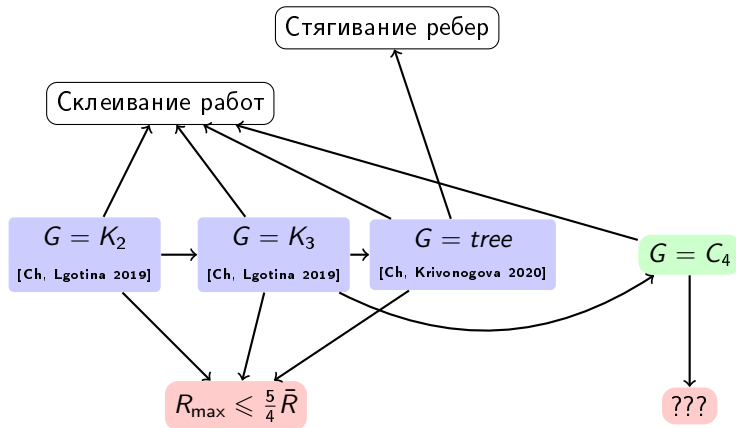
История исследования “простых примеров”

$RO2|Rtt|R_{\max}$



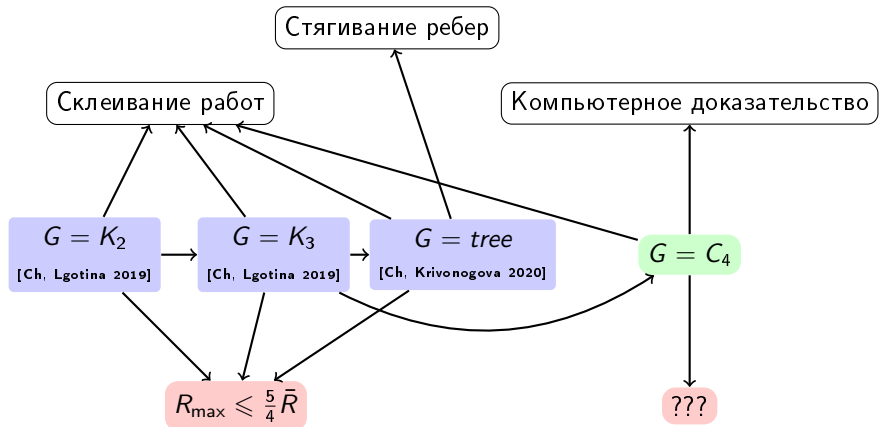
История исследования “простых примеров”

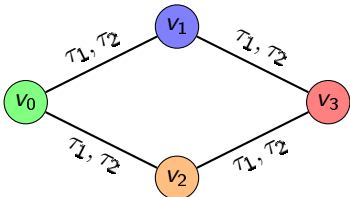
$RO2|Rtt|R_{\max}$



История исследования “простых примеров”

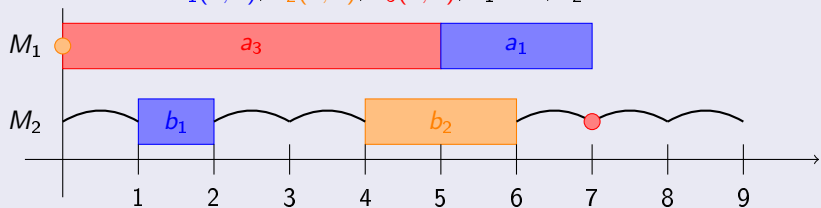
$RO2|Rtt|R_{\max}$





Пример

$J_1(2, 1); J_2(0, 2); J_3(5, 0); \tau_1 = 0, \tau_2 = 1.$



Лемма

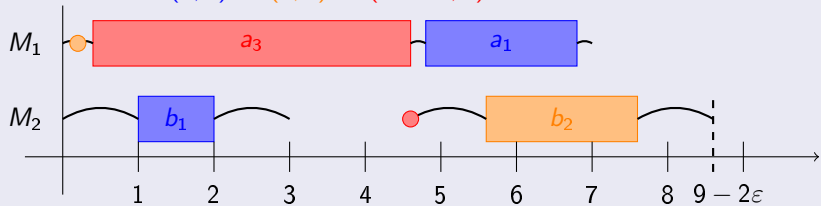
Для любого примера $RO2|Rtt, G = C_4|R_{\max}$ без перегруженных вершин длина оптимального расписания не превышает $\frac{9}{7}\bar{R}$, и эта оценка точна. Допустимое расписание длины не больше $\frac{9}{7}\bar{R}$ может быть построено за линейное время.

Лемма

Для любого примера $RO2|Rtt$, $G = C_4|R_{\max}$ без перегруженных вершин длина оптимального расписания не превышает $\frac{9}{7}\bar{R}$, и эта оценка точна. Допустимое расписание длины не больше $\frac{9}{7}\bar{R}$ может быть построено за линейное время.

Примечание: для $RO2|Qtt$, $G = C_4|R_{\max}$ оценка также точна.

$$J_1(2, 1); J_2(0, 2); J_3(5 - 4\varepsilon, 0); \tau_1 = \varepsilon, \tau_2 = 1.$$

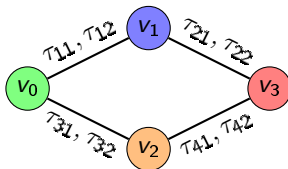


А если есть перегруженная вершина?

- ❶ Если перегружена база, то $R_{\max}^* = \bar{R}$ [Ch 2021]
- ❷ Если перегружена одна из вершин v_1, v_2 , то задача сводится к следующей структуре:



- ❸ Самый сложный случай — когда перегружена вершина v_3 .

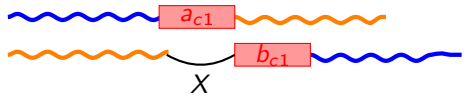
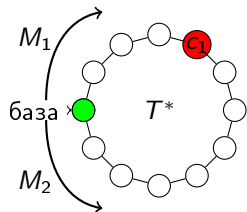


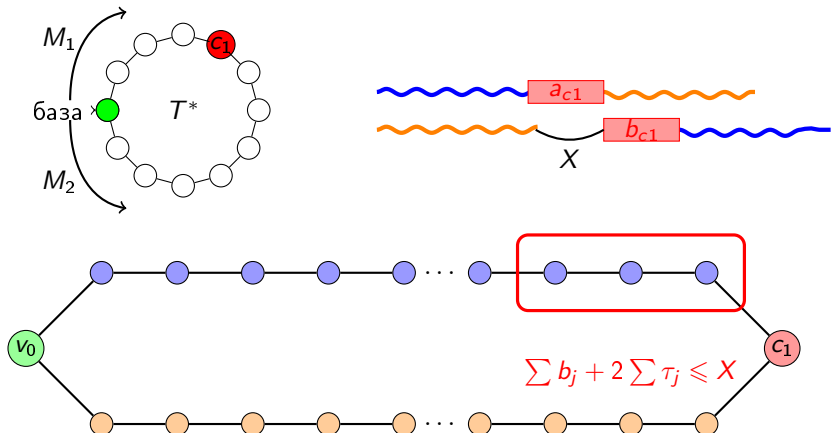
$$\text{dist}_i(v_0, v_3) = \min\{\tau_{1i} + \tau_{2i}, \tau_{3i} + \tau_{4i}\}$$

Итоги

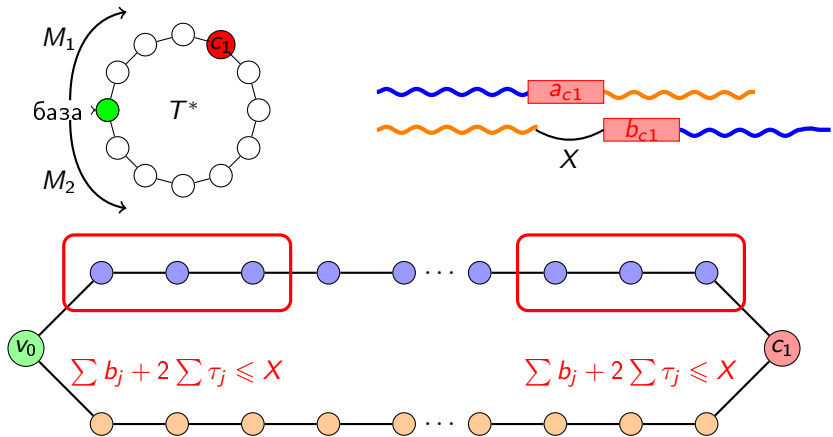
- ➊ Для задачи $RO2||R_{\max}$ верхняя граница интервала локализации оптимумов лежит между $\frac{5}{4}$ и $\frac{4}{3}$
- ➋ Актуальная гипотеза: $[\bar{R}, \frac{5}{4}\bar{R}]$
- ➌ Методика сведения к задаче с туннелями вероятно не поможет подтвердить гипотезу.
- ➍ Поиск контрпримеров будет продолжаться с помощью компьютера. (Задача: придумать перспективные простые структуры транспортной сети)
- ➎ Для задач $\overline{R}O2|G = \mathcal{P}^+|R_{\max}$ и $\overline{R}O2|G = \mathcal{P}^+, j\text{-prpt}|R_{\max}$ найден точный интервал локализации оптимумов: $[\bar{R}, \frac{4}{3}\bar{R}]$.
- ➏ Найден пример для задачи $RO2|G = C_4, j\text{-prpt}|C_{\max}$, для которого $C_{\max}^* = \frac{5}{4}\bar{C}$.
- ➐ Для задачи $RO2|Rtt, G = C_4|R_{\max}$ найден новый рекордный пример с отношением оптимума к стандартной нижней оценке $\frac{9}{7}$
- ➑ Вероятно, этот пример является критическим для $G = C_4$, а оценка $\frac{9}{7}$ — точной (либо верно, либо найдется новая более сильная оценка).
- ➒ Программа работает! Будут новые результаты.

Есть еще идея...





Есть еще идея...



Часть вторая, дополнительная.

О локализации оптимумов для $F4 \parallel C_{\max}$.

Постановка

Требуется составить расписание выполнения n работ m машинами за кратчайшее время. При этом операции каждой работы должны выполняться в одной и той же последовательности: сначала на машине M_1 , потом на M_2 и так далее. Одновременное выполнение двух операций на одной машине запрещено.

Замечание: разные машины могут выполнять работы в разном порядке.

Сложность

- ❶ Задача $F2||C_{\max}$ разрешима за $O(n \log n)$ [Johnson 1953]
- ❷ Задача $F3||C_{\max}$ NP-трудна в сильном смысле.

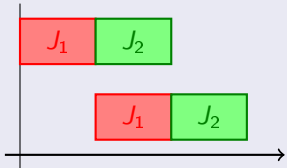
Стандартная нижняя оценка

$$\bar{C} = \max\{\ell_{\max}, d_{\max}\}$$

Локализация оптимумов

$$F2 \parallel C_{\max}: C_{\max}^* \leqslant 3/2 \bar{C}$$

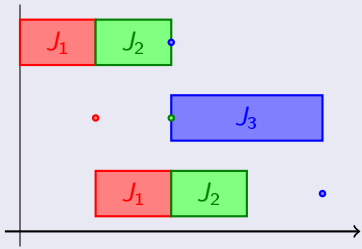
$$J_1 = (1, 1), J_2 = (1, 1)$$



$$F3 \parallel C_{\max}: C_{\max}^* \leqslant 2 \bar{C}$$

$$J_1 = (1, 1, 0), J_2 = (1, 1, 0),$$

$$J_3 = (0, 2, 0)$$



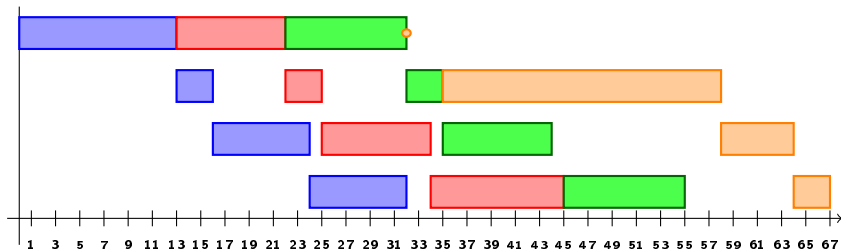
Наилучший известный пример для $F4||C_{\max}$

$F4||C_{\max}$

$$J_1 = (13, 3, 8, 8), J_2 = (9, 3, 9, 11), J_3 = (10, 3, 9, 10), J_4 = (0, 23, 6, 3)$$

$$C_{\max}^* = 67 = \frac{67}{32} \bar{C} = 2.09375 \bar{C}.$$

Точность не подтверждена.



Некоторые особенности задачи

Для множества \mathcal{I}_4 всех нетривиальных примеров задачи $F4 \parallel C_{\max}$ мы хотим найти

$$\rho^* = \sup_{I \in \mathcal{I}_4} \frac{C_{\max}^*(I)}{\bar{C}(I)}.$$

- ➊ Достаточно рассматривать примеры с не более чем 7 работами. Для начала ограничимся случаем $n = 4$.
- ➋ Без ограничения общности можно считать, что $\bar{C} = 1$.
- ➌ Без ограничения общности можно считать, что нагрузки всех машин равны \bar{C} .
- ➍ Для задачи $F4 \parallel C_{\max}$ всегда существует оптимальное расписание, в котором совпадает порядок выполнения работ на первых двух машинах, и совпадает порядок на последних двух машинах.
- ➎ Таким образом, для примера с n работами достаточно перебрать $(n!)^2$ расписаний.
- ➏ Для нахождения длины расписания, заданного парой перестановок, достаточно перебрать длины всех полных путей в графе частичного порядка выполнения операций (для $n = 4$ таких путей 20).

- Допустимые решения (примеры задачи): дважды стохастические матрицы 4×4 . (Строки — машины, столбцы — работы.)
- Целевая функция: длина оптимального расписания соответствующего примера.

$$F(A) = \min_{(\pi_1, \pi_2)} \max_{P \in \mathcal{P}(\pi_1, \pi_2)} |P(A)|,$$

где

- π_1, π_2 — перестановки четырех элементов,
- $\mathcal{P}(\pi_1, \pi_2)$ — множество полных путей в графе предшествования, заданного перестановками,
- $|P(A)|$ — длина пути P на соответствующих элементах матрицы A .

$$F(A) \rightarrow \max.$$

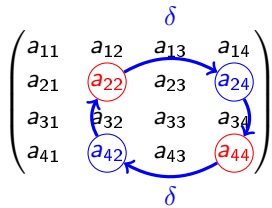
Окрестность 4-cycle

$$\begin{pmatrix} a_{11} & a_{12} & a_{13} & a_{14} \\ a_{21} & a_{22} & a_{23} & a_{24} \\ a_{31} & a_{32} & a_{33} & a_{34} \\ a_{41} & a_{42} & a_{43} & a_{44} \end{pmatrix}$$

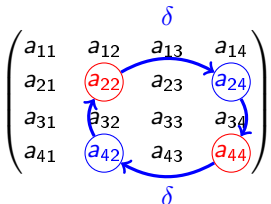
Окрестность 4-cycle

$$\begin{pmatrix} a_{11} & a_{12} & a_{13} & a_{14} \\ a_{21} & \textcolor{red}{a_{22}} & a_{23} & \textcolor{blue}{a_{24}} \\ a_{31} & a_{32} & a_{33} & a_{34} \\ a_{41} & \textcolor{blue}{a_{42}} & a_{43} & \textcolor{red}{a_{44}} \end{pmatrix}$$

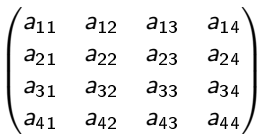
Окрестность 4-cycle



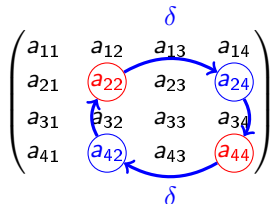
Окрестность 4-cycle



Окрестность 2-swap



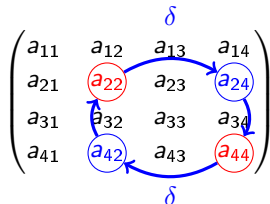
Окрестность 4-cycle



Окрестность 2-swap

a_{11}	a_{12}	a_{13}	a_{14}
a_{21}	a_{22}	a_{23}	a_{24}
a_{31}	a_{32}	a_{33}	a_{34}
a_{41}	a_{42}	a_{43}	a_{44}

Окрестность 4-cycle



Окрестность 2-swap

A 4x4 matrix with elements labeled a_{ij} . Two rows and two columns are highlighted with red boxes: the first row ($a_{11}, a_{12}, a_{13}, a_{14}$) and the fourth column ($a_{14}, a_{24}, a_{34}, a_{44}$). Red arrows point from the bottom-right corner of the first row box to the top-left corner of the fourth column box, indicating a swap operation.

a_{11}	a_{12}	a_{13}	a_{14}
a_{21}	a_{22}	a_{23}	a_{24}
a_{31}	a_{32}	a_{33}	a_{34}
a_{41}	a_{42}	a_{43}	a_{44}

Окрестность 8-cycle

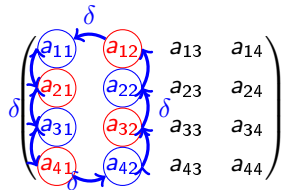
$$\begin{pmatrix} a_{11} & a_{12} & a_{13} & a_{14} \\ a_{21} & a_{22} & a_{23} & a_{24} \\ a_{31} & a_{32} & a_{33} & a_{34} \\ a_{41} & a_{42} & a_{43} & a_{44} \end{pmatrix}$$

Еще окрестности

Окрестность 8-cycle

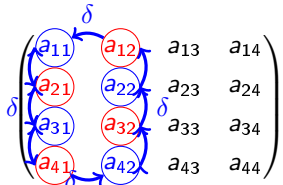
$$\begin{pmatrix} a_{11} & a_{12} & a_{13} & a_{14} \\ a_{21} & a_{22} & a_{23} & a_{24} \\ a_{31} & a_{32} & a_{33} & a_{34} \\ a_{41} & a_{42} & a_{43} & a_{44} \end{pmatrix}$$

Окрестность 8-cycle



Еще окрестности

Окрестность 8-cycle

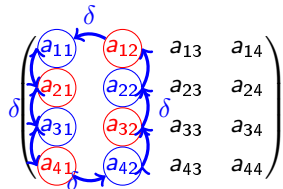


Окрестность 6-cycle

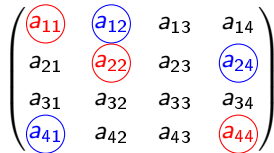
$$\begin{pmatrix} a_{11} & a_{12} & a_{13} & a_{14} \\ a_{21} & a_{22} & a_{23} & a_{24} \\ a_{31} & a_{32} & a_{33} & a_{34} \\ a_{41} & a_{42} & a_{43} & a_{44} \end{pmatrix}$$

Еще окрестности

Окрестность 8-cycle

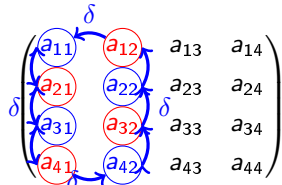


Окрестность 6-cycle

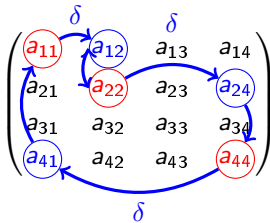


Еще окрестности

Окрестность 8-cycle



Окрестность 6-cycle



И снова окрестности

Окрестность `permutation` — перестановка строк.

Окрестность `random shift` — выпуклая комбинация со случайной дважды-стохастической матрицей.

Окрестность `partial 4-cycle` — “перемещение” по короткому циклу только части минимального элемента.

И снова окрестности

Окрестность `permutation` — перестановка строк.

Окрестность `random shift` — выпуклая комбинация со случайной дважды-стохастической матрицей.

Окрестность `partial 4-cycle` — “перемещение” по короткому циклу только части минимального элемента.

Окрестность `double 4-cycle`

$$\begin{pmatrix} a_{11} & a_{12} & a_{13} & a_{14} \\ a_{21} & a_{22} & a_{23} & a_{24} \\ a_{31} & a_{32} & a_{33} & a_{34} \\ a_{41} & a_{42} & a_{43} & a_{44} \end{pmatrix}$$

И снова окрестности

Окрестность `permutation` — перестановка строк.

Окрестность `random shift` — выпуклая комбинация со случайной дважды-стохастической матрицей.

Окрестность `partial 4-cycle` — “перемещение” по короткому циклу только части минимального элемента.

Окрестность `double 4-cycle`

$$\begin{pmatrix} a_{11} & a_{12} & a_{13} & a_{14} \\ a_{21} & a_{22} & a_{23} & a_{24} \\ a_{31} & a_{32} & a_{33} & a_{34} \\ a_{41} & a_{42} & a_{43} & a_{44} \end{pmatrix}$$

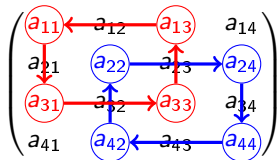
И снова окрестности

Окрестность `permutation` — перестановка строк.

Окрестность `random shift` — выпуклая комбинация со случайной дважды-стохастической матрицей.

Окрестность `partial 4-cycle` — “перемещение” по короткому циклу только части минимального элемента.

Окрестность `double 4-cycle`



Генетический алгоритм: нужны идеи

- 1 Генерация случайных дважды-стохастических матриц (случайные выпуклые комбинации случайных матриц подстановок / перестановочных матриц).
- 2 Для каждой особи запускаем локальный поиск в окрестности 4-cycle
- 3 Скрещивание: для случайного $\alpha \in [0, 1]$

$$\begin{array}{ccc} parent_1 & \xrightarrow{\text{blue}} & child_1 = \alpha parent_1 + (1 - \alpha) parent_2 \\ & \searrow \text{red} & \\ parent_2 & \xrightarrow{\text{blue}} & child_2 = (1 - \alpha) parent_1 + \alpha parent_2 \end{array}$$

- 4 Для детей тоже запускаем локальный поиск
- 5 Мутация — ???

- Мутируем случайный элемент
- Пока матрица не дважды-стохастическая
 - Нормализуем строки
 - Нормализуем столбцы

(сходится, но долго)